

第2表 大反射望遠鏡とその型

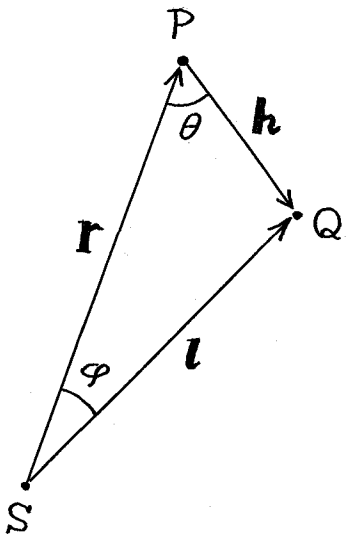
所在地	口径(cm)	完成年	マウンティング
パロマー (米)	508	1948	馬蹄
ハミルトン山 (米)	305	1959	フォーク
ロック山 (米)	270	1969	クロスアクシス
クリミア (ソ)	264	1961	フォーク
ウィルソン山 (米)	257	1917	ヨーク
ハートモンソー (英)	249	1967	フォーク
キットピーク (米)	213	1963	"
ロック山 (米)	208	1939	クロスアクシス変形
オンドレーフ (チェッコ)	200	1967	クロスアクシス
サンミシエル (仏)	193	1958	"
トロント (カナダ)	188	1933	"
プレトリア (南ア)	188	1948	"
ストロムロ山 (濠)	188	1955	"
岡山 (日)	188	1960	"
コッタミア (エジプト)	188	1963	"

引 力 圏

佐 藤 明 達*

アポロ月探検船の相継ぐ成功で、月の引力圏という言葉が新聞にもしばしば見られるようになった。ここにいう引力圏とは、つぎのような意味のものである。

2個の天体、 S, P のまわりを、質量の非常に小さい第3の天体 Q が運動しつつあるものとしよう。



第1図

Q が S に近いときは Q は主として S の引力 F_s にしたがって動き、 P による引力 f_p は摂動力として作用する。逆に Q が P に近いときは P の引力 F_p が主引力で、 S の引力 f_s は摂動力と見なされ

る。不等式

$$\frac{f_s}{F_p} < \frac{f_p}{F_s}$$

が成立つ範囲内では Q は P の引力の支配下にあると見てよい。この範囲を P の引力圏といい、等式

$$\frac{f_s}{F_p} = \frac{f_p}{F_s} \tag{1}$$

を解けば求められる。

S, P, Q の質量および位置ベクトルをそれぞれ M, m, n および s, p, q とし、さらに $p-s=r, q-s=l, q-p=h, \angle SPQ=\theta, \angle PSQ=\varphi$ とおく(第1図)。万有引力定数を G とし、 n は M, m に比べて無視できるほど小さいとすれば、 S, P, Q の運動方程式はそれぞれ

$$\begin{aligned} M \frac{d^2s}{dt^2} &= + \frac{GMm}{r^2} \frac{r}{r} \\ m \frac{d^2p}{dt^2} &= - \frac{GMm}{r^2} \frac{r}{r} \\ n \frac{d^2q}{dt^2} &= - \frac{GMn}{l^2} \frac{l}{l} - \frac{Gmn}{h^2} \frac{h}{h} \end{aligned}$$

となる。ここに r はベクトル r の絶対値を表わす。したがって S を原点とした Q の運動方程式は

$$\frac{d^2l}{dt^2} = - \frac{GM}{l^2} \frac{l}{l} - Gm \left(\frac{1}{h^2} \frac{h}{h} + \frac{1}{r^2} \frac{r}{r} \right) \tag{2}$$

* 大阪市立電気科学館

$$=F_s+f_p$$

同様に P を原点とした Q の運動方程式は

$$\frac{d^2\mathbf{h}}{dt^2} = -\frac{GM}{h^2} \frac{\mathbf{h}}{h} - GM \left(\frac{1}{l^2} \frac{\mathbf{l}}{l} - \frac{1}{r^2} \frac{\mathbf{r}}{r} \right) \quad (3)$$

$$=F_p+f_s$$

となる。 $\frac{f_p}{F_s} < \frac{f_s}{F_p}$ ならば Q の運動を調べるのに (2) 式を用いるのがよく、 $\frac{f_p}{F_s} > \frac{f_s}{F_p}$ ならば (3) 式の方がよい。両者の限界は $\frac{f_p}{F_s} = \frac{f_s}{F_p}$ を解いて決まる。

いまとくに m が M に比べてかなり小さい場合を考えると、 h は r に比べて非常に小さく、 l は r にほぼ等しいところを考えることになる。

S の摂動力 f_s の大きさは、 (3) より

$$f_s^2 = \left(\frac{GM}{l^2} \frac{\mathbf{l}}{l} - \frac{GM}{r^2} \frac{\mathbf{r}}{r} \right)^2$$

$$= G^2 M^2 \left\{ \frac{1}{l^4} + \frac{1}{r^4} - \frac{2 \cos \varphi}{l^2 r^2} \right\}$$

第1図より、 $h^2 = l^2 + r^2 - 2lr \cos \varphi$ であるから

$$f_s^2 = \frac{G^2 M^2}{l^4 r^4} \{ l^4 + r^4 - lr(l^2 + r^2 - h^2) \}$$

$$= \frac{G^2 M^2}{l^4 r^4} \{ (r-l)^2(l^2 + lr + r^2) + lrh^2 \}$$

近似的に $|r-l| = h \cos \theta$ であるから

$$f_s^2 = \frac{G^2 M^2}{l^4 r^4} \{ (l^2 + lr + r^2) h^2 \cos^2 \theta + lrh^2 \}$$

ここで $l=r$ とおけば

$$f_s^2 = \frac{G^2 M^2 h^2}{r^6} \{ 1 + 3 \cos^2 \theta \}$$

すなわち $f_s = \frac{GMh}{r^3} \sqrt{1 + 3 \cos^2 \theta}$

これは起潮力と同じ形の力である。その他の力は

$$f_p = \frac{Gm}{h^2}, F_s = \frac{GM}{r^2}, F_p = \frac{Gm}{h^2}$$

これらを (1) 式へ代入し、 $m/M = \mu$ とおけば

$$h = \frac{\mu^{2/5}}{(1 + 3 \cos^2 \theta)^{1/10}} r$$

これが P の引力圏の境界面を考える式で、 S と P を結ぶ方向を回転軸とする回転扁球面である。しかし $1.00 \leq (1 + 3 \cos^2 \theta)^{1/10} < 1.15$ であるから、ふつう引力圏は半径 $h = \mu^{2/5} r$ の球と考えてよい、ちなみに引力圏の境界上で

$$\frac{f_p}{F_s} = \frac{f_s}{F_p} = \mu^{1/5}, \quad \frac{F_p}{F_s} = \mu^{1/5}$$

となる。これは境界上の点で S と P の引力が等しくなるのではないことを表わしている。

太陽に対する惑星の引力圏の半径は下表のごとくである。最後の列の R は惑星の赤道半径である。当然のことながら衛星はすべて各惑星の引力圏内にある (理科年表天文部5頁、衛星の表参照)。これで見ると火星・天王星・海王星にはさらに外側衛星が見つかる可能性がある。

地球と月を考えた場合、 $\mu = 1/81.303, r = 38.440$ 万 km であるから月の引力圏の半径は $h = r/5.808 = 6.618$ 万 km となる。これは月の半径の 38.08 倍に等しい。

月の軌道半長径は1天文単位の389.2分の1である。したがって新月または満月のとき、月に働く地球の引力と太陽の摂動力との比は

$$\frac{f_s}{F_p} = \frac{332958 \times 2}{389.2^3} = \frac{1}{88.5}$$

となる。かように太陽の摂動力はかなり大きく、月の運動を極めて複雑なものにしている。これは地球の引力圏の半径が 92.47 万 km で、月の軌道半径の 2.406 倍に過ぎないことから察せられよう。

惑星	質量比 μ	軌道半長径 r (天文単位)	引力圏の半径 h (天文単位)	$\frac{h}{R}$
水星	1/6000000	0.38710	0.0007526	46.24
金星	1/408000	0.72333	0.004122	101.8
地球	1/332958	1.00000	0.006181	145.0
火星	1/3093500	1.5237	0.003861	170.4
木星	1/1047.355	5.2032	0.3223	675.3
土星	1/3501.6	9.5191	0.3638	901.1
天王星	1/22869	19.280	0.3479	2187
海王星	1/19314	30.174	0.5825	3908
冥王星	1/1812000	39.762	0.1248	6223